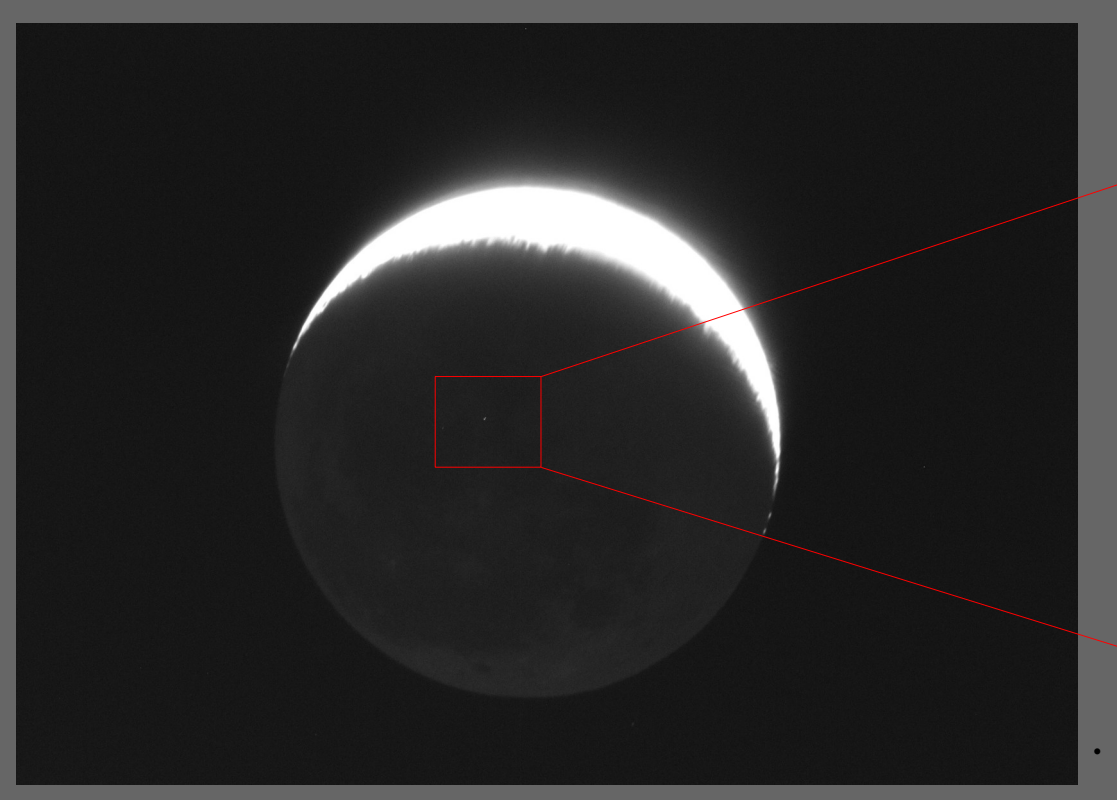


D'où vient cette idée ?



..... en observant la Lune!



Impact lunaire ou rayon cosmique?

Extrait d'une image de 2h30 de pose

P_{RC}=0.220 et P_{impact}=0.012

→ Il est plus probable que l'observation était un rayon cosmique

Un peu d'histoire ...

Première observation en 1900 par le physicien Charles Thomson \rightarrow découverte que l'atmosphère est toujours ionisée mais origine

terrestre supposée

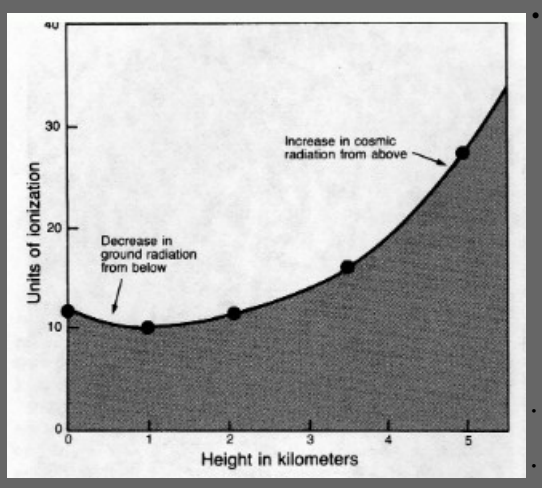
1ere chambre à brouillard





En 1912, Victor Franz Hess prouve que l'origine de cette ionisation est cosmique grâce à des ballons sonde. Il obtiendra le Prix Nobel de Physique en 1936





En 1938, Pierre Auger découvre les gerbes atmosphériques grâce à des détecteurs dans les Alpes et estima l'énergie de ces particules à 1015 eV(*) !

 $^{(*)}$ E_{max}(LHV) ~ 7 10¹² eV

10¹⁵ eV = énergie cinétique d'une abeille à pleine vitesse

Un peu d'histoire ...

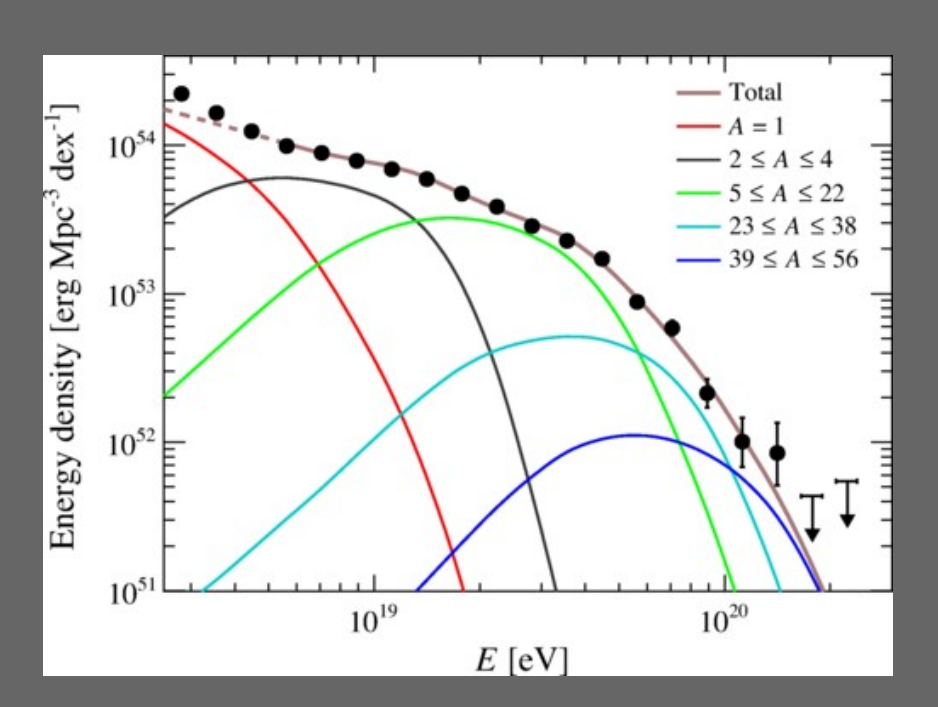
L'observation des rayons cosmiques va permettre de découvrir de très nombreuses particules inconnues jusqu'alors

| Particle | Year | Discoverer (Nobel Prize) | Method |
|--------------------|-------|--------------------------|-----------------------|
| e^- | 1897 | J.J. Thomson (1906) | Discharges in gases |
| p | 1919 | E. Rutherford | Natural radioactivity |
| n | 1932 | J. Chadwik (1935) | Natural radioactivity |
| e^+ | 1933 | C.D. Anderson (1936) | Cosmic Rays |
| μ^{\pm} | 1937 | S. Neddermeyer | Cosmic Rays |
| π^{\pm} | 1947 | C.F. Powell (1950) | Cosmic Rays |
| K^{\pm} | 1949 | C.F. Powell (1950) | Cosmic Rays |
| π^0 | 1949 | R. Bjorklund | Accelerator |
| K^0 | 1951 | R. Armenteros | Cosmic Rays |
| Λ^0 | 1951 | R. Armenteros | Cosmic Rays |
| Δ | 1952 | C.D. Anderson | Cosmic Rays |
| Ξ- | 1952 | R. Armenteros | Cosmic Rays |
| Σ^{\pm} | 1953 | A. Bonetti | Cosmic Rays |
| p^{-} | 1955 | O.Chamberlain (1959) | Accelerators |
| | | E. Segre' (1959) | |
| anything else | >1955 | various groups | Accelerators |
| ν oscillations | 1998 | SuperKamiokande | Cosmic Rays |

C'est quoi un rayon cosmique?

Les rayons cosmiques sont en très grande majorité des particules chargées électriquement et très énergétiques qui viennent de l'espace et qui rentrent dans l'atmosphère terrestre.

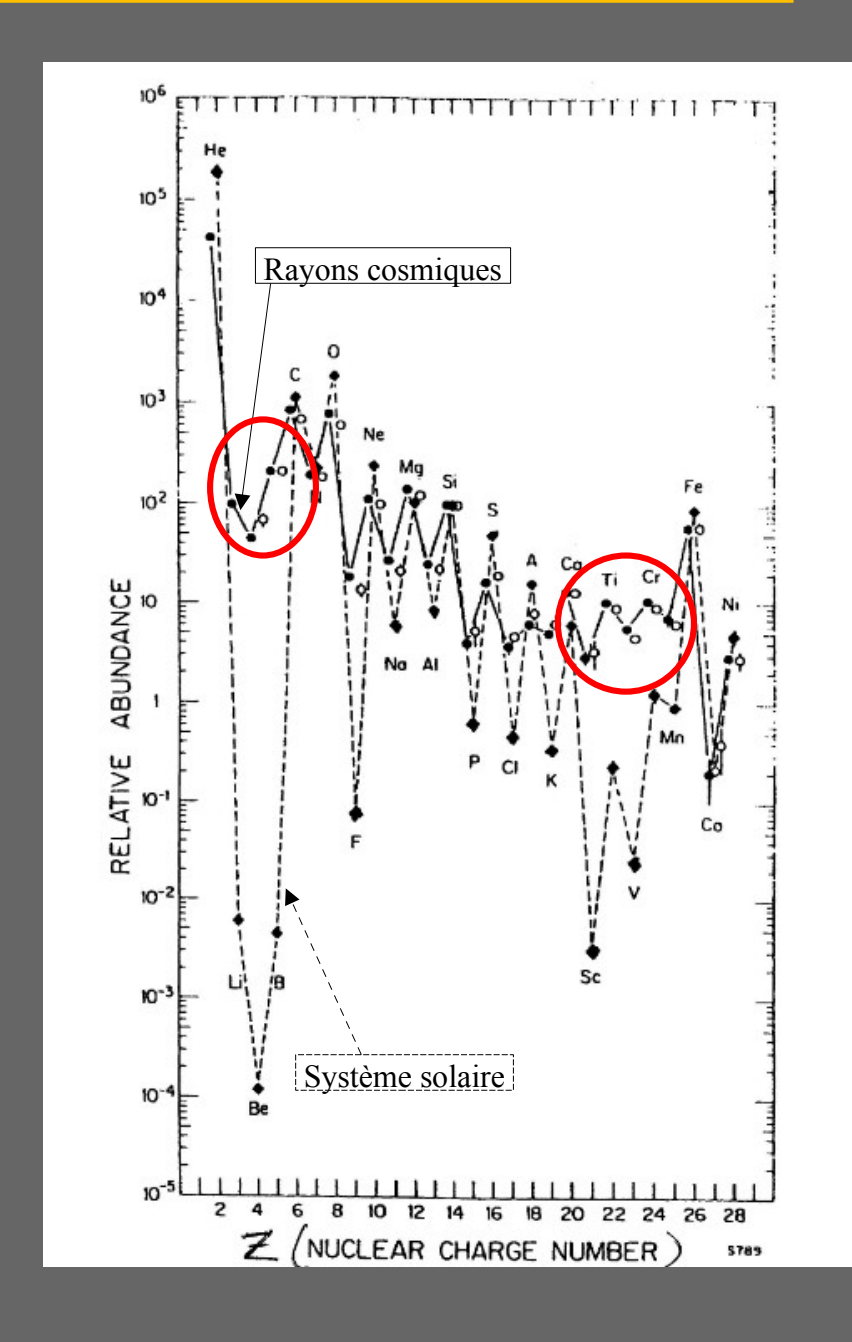
A plus près de 99 %, il s'agit de noyaux (90 % de protons et 9 % He), le 1 % restant sont des électrons



A cela s'ajoute quelques particules neutres également : photons et neutrinos mais on est ici à la limite de ce que l'on peut vraiment appeler des rayons cosmiques

Les caractéristiques principales des RC hadroniques

Abondance relatives des éléments



- 1. Composition isotopique proche de celle du système solaire
- → origine issue de la nucléosynthèse stellaire
- 2. Sur-abondance dans les RC du Li, Be, B, Sc, Ti, V, Cr et Mn due à des réactions de spalliation des noyaux de C,N,O et Fe avec le milieu interstellaire
- → Une méthode pour estimer la distance parcourue par les RC

Les caractéristiques principales des RC hadroniques

Spectre en énergie

Les rayons cosmiques sont séparés en 3 groupes différents à partir de leur spectre :

1. sous le 10⁹ eV :

protons énergétiques issus du soleil issu des éruptions solaires

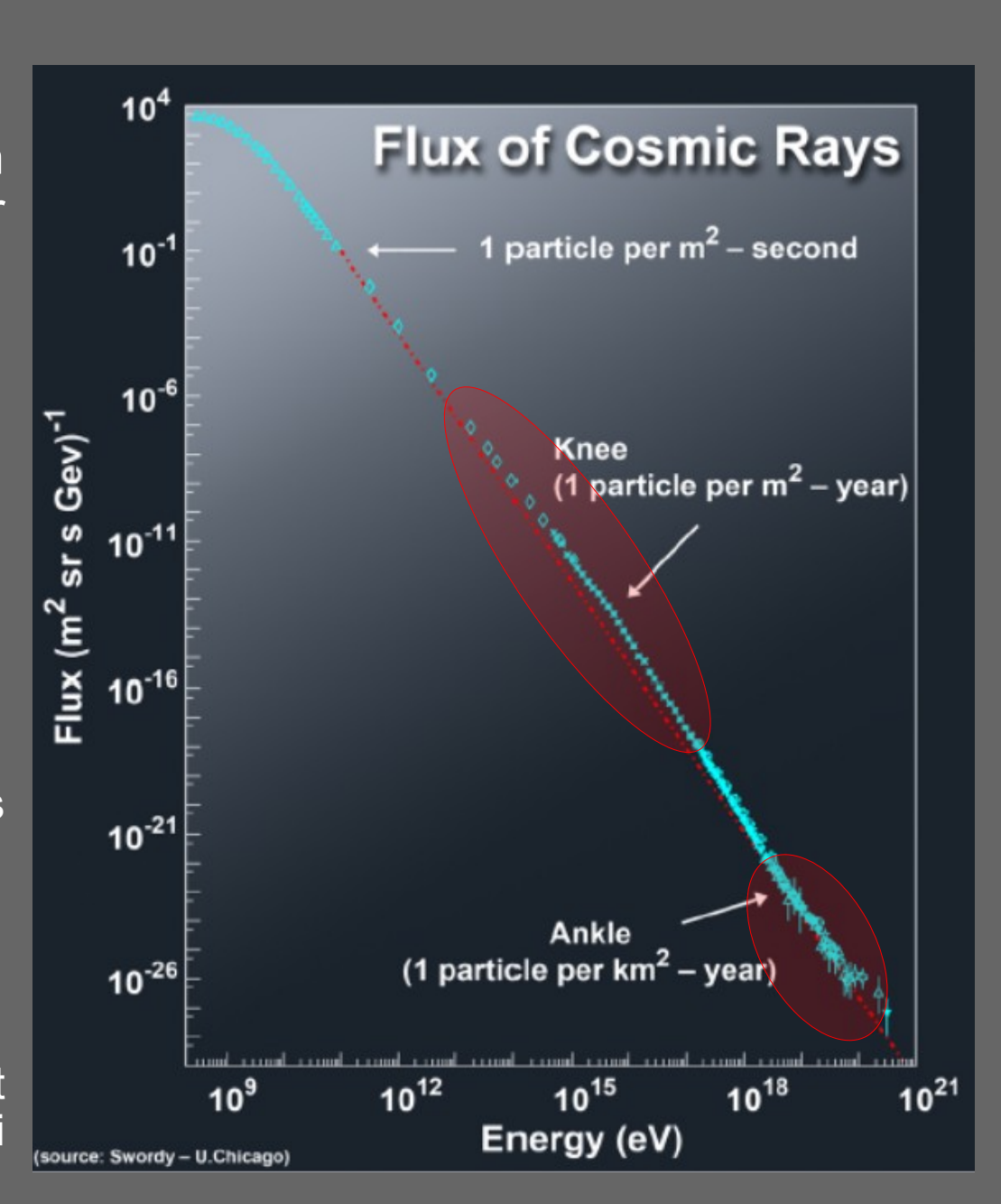
2. jusqu'au « genou » : < 10¹⁷ eV

Largement majoritaire en nombre

→ Origine galactique : accélération lors des explosions de SN notamment.

3. « La cheville » et au delà : > 10¹⁷ eV

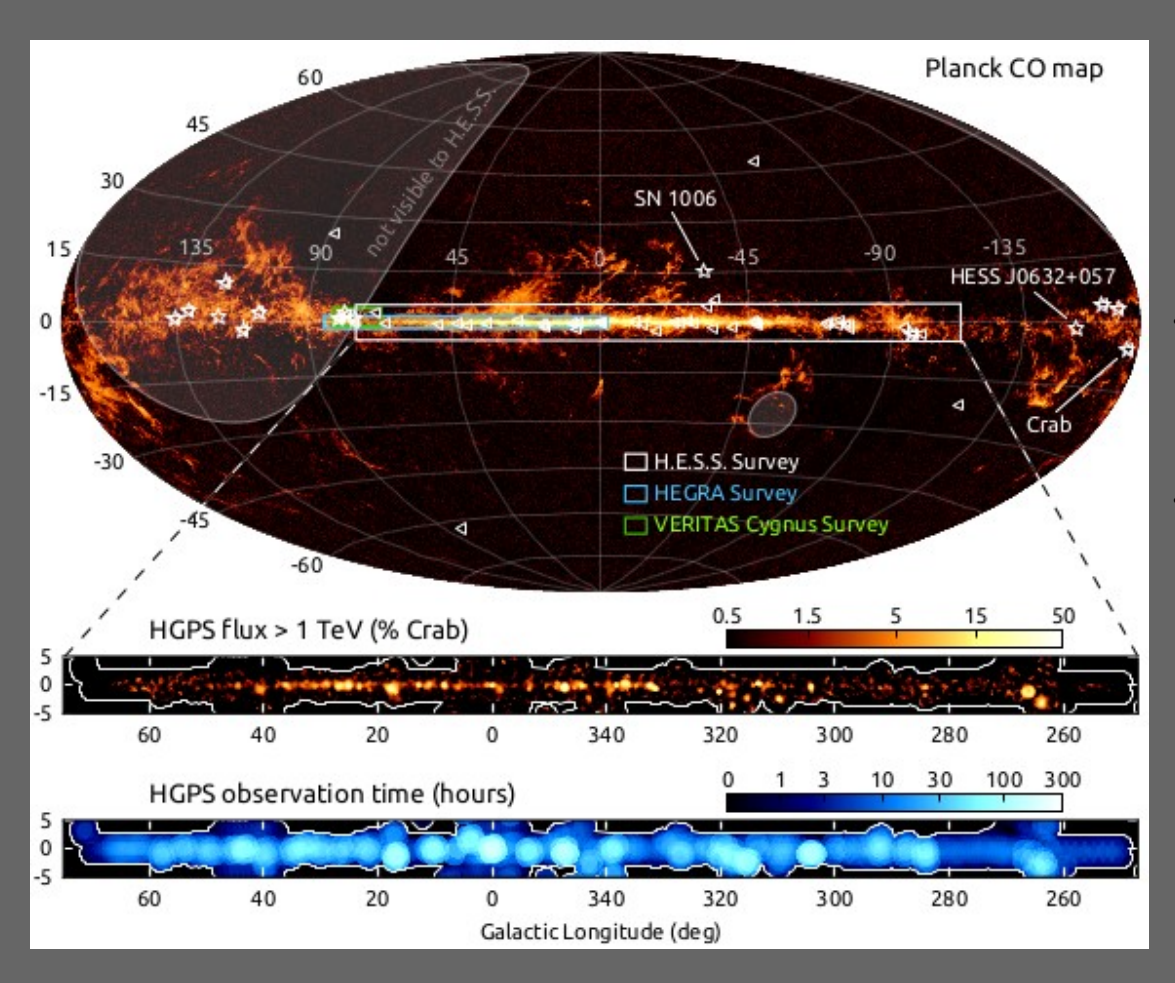
Le champ magnétique galactique ne peut pas retenir des particules aussi énergétiques



Les caractéristiques principales des RC

Les rayons cosmiques hadroniques sont des particules chargées totalement ionisées

- → Forte interaction avec les champs magnétiques galactique, solaire, terrestre,...
- → Perte totale de l'information de la direction originelle

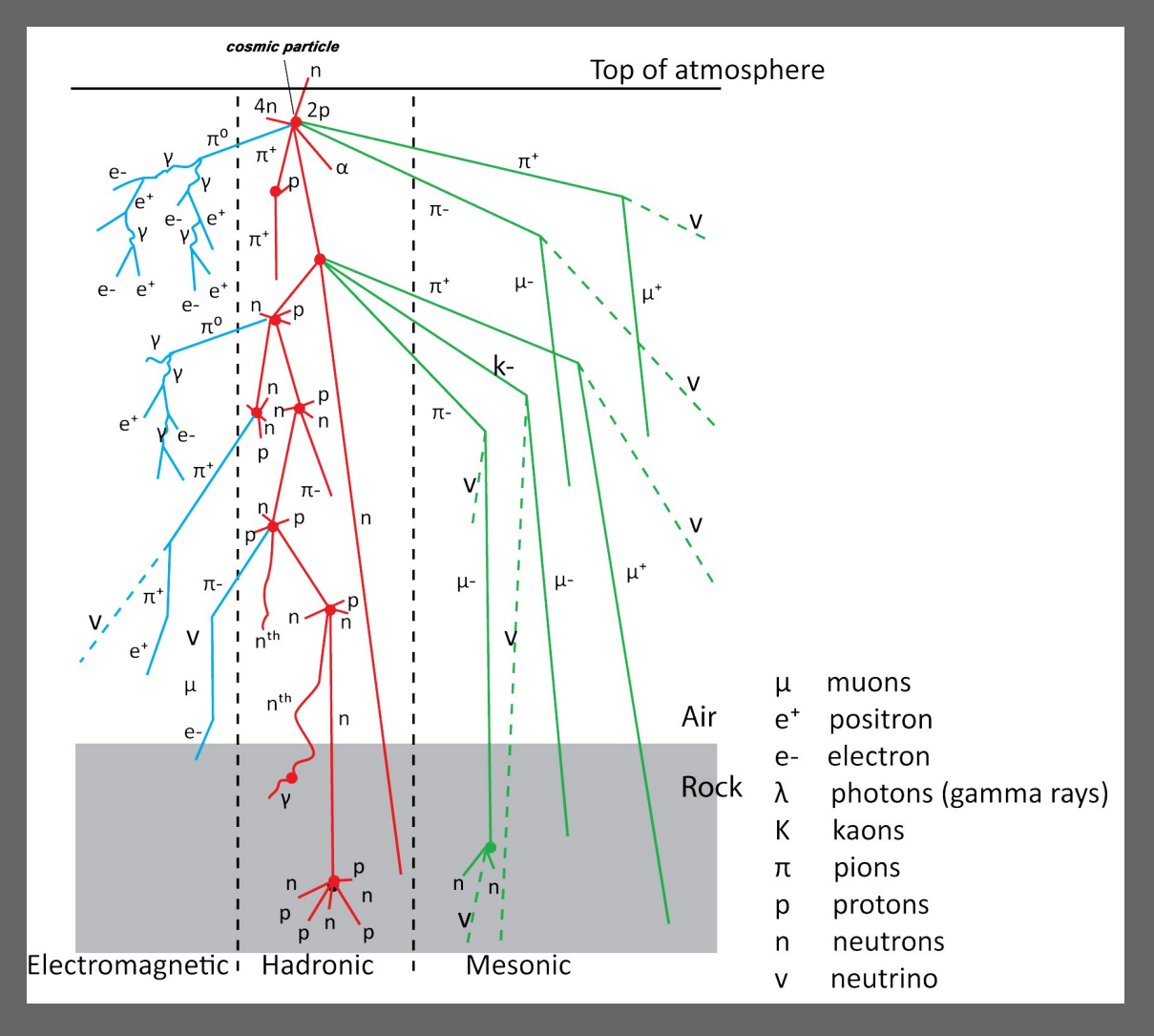


Intérêt des « RC » neutres (gamma et neutrinos) :

→ possibilité de cartographier le ciel

Les RC sur Terre

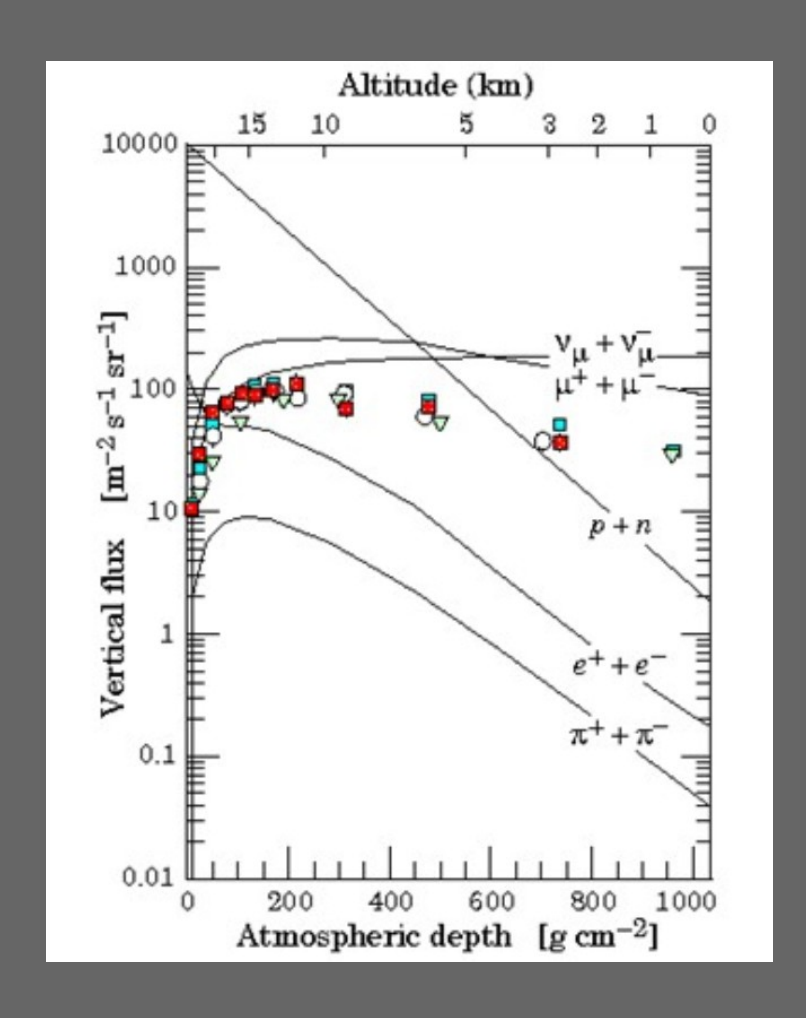
Les rayons cosmiques interagissent dans l'atmosphère terrestre en explosant en une gerbe de particules différentes

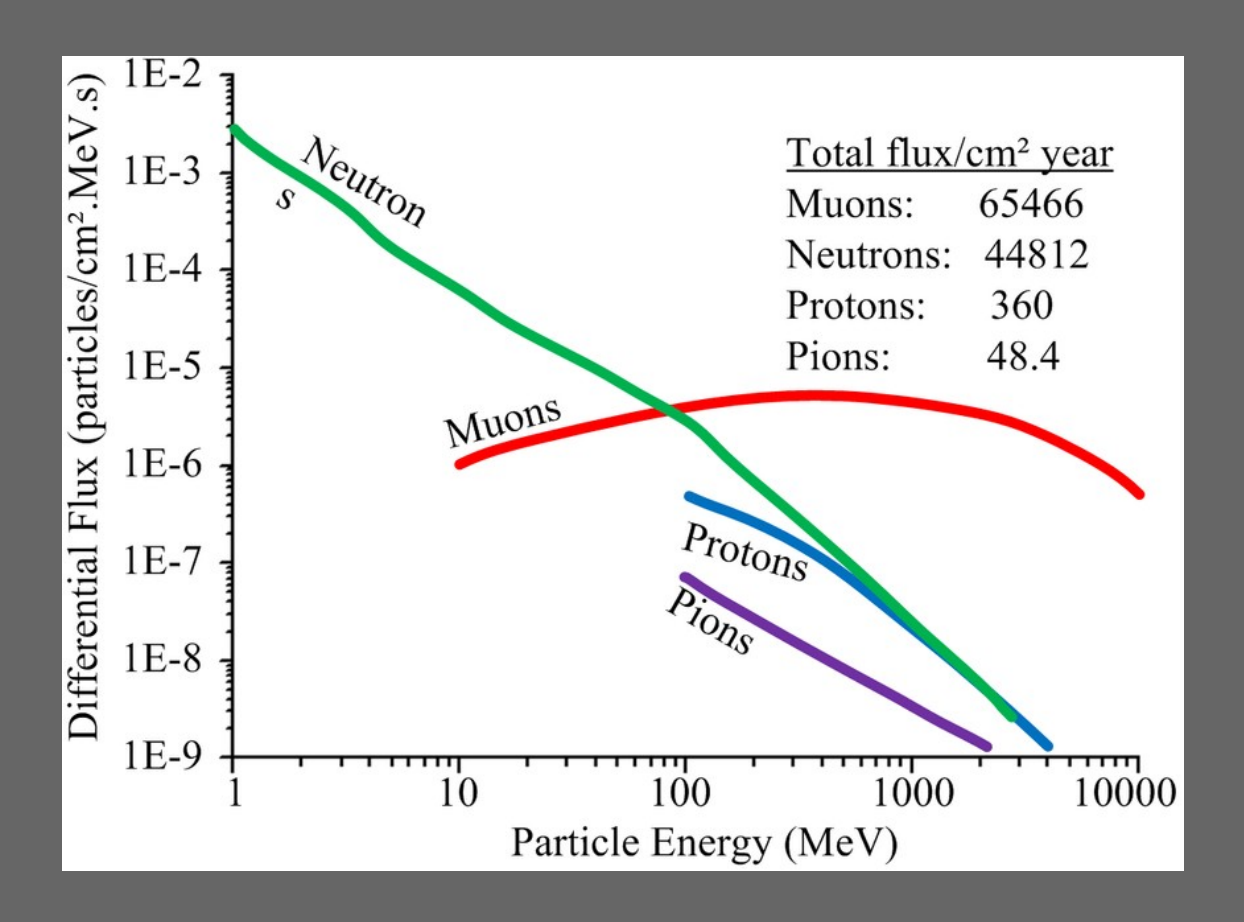


- → Brouillage encore des pistes sur la direction initiale du RC
- → Nécessité de reconstruire la gerbe pour remonter au RC

Les RC sur Terre

· Nature des particules au niveau de la mer





Au niveau de la mer : 99 % de muons et neutrinos

1 muon/cm²/min

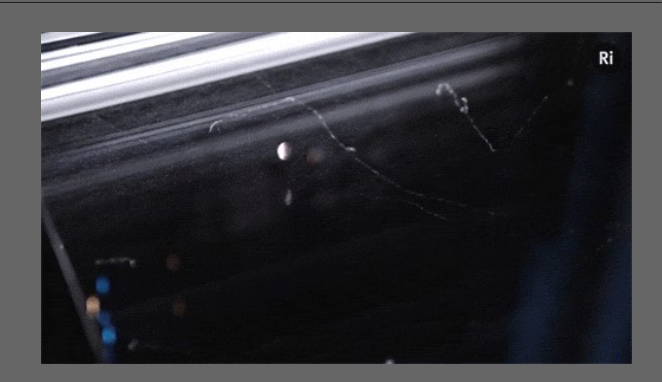
Energie des particules secondaires << Energie des RC primaires

La détection des RC

Plusieurs moyens de détection des RC sur Terre :

- la chambre à brouillard

visualisation des muons, aujourd'hui aspect plus pédagogique que vraiment scientifique



- la mesure par rayonnement Cerenkov Soit en observant directement dans



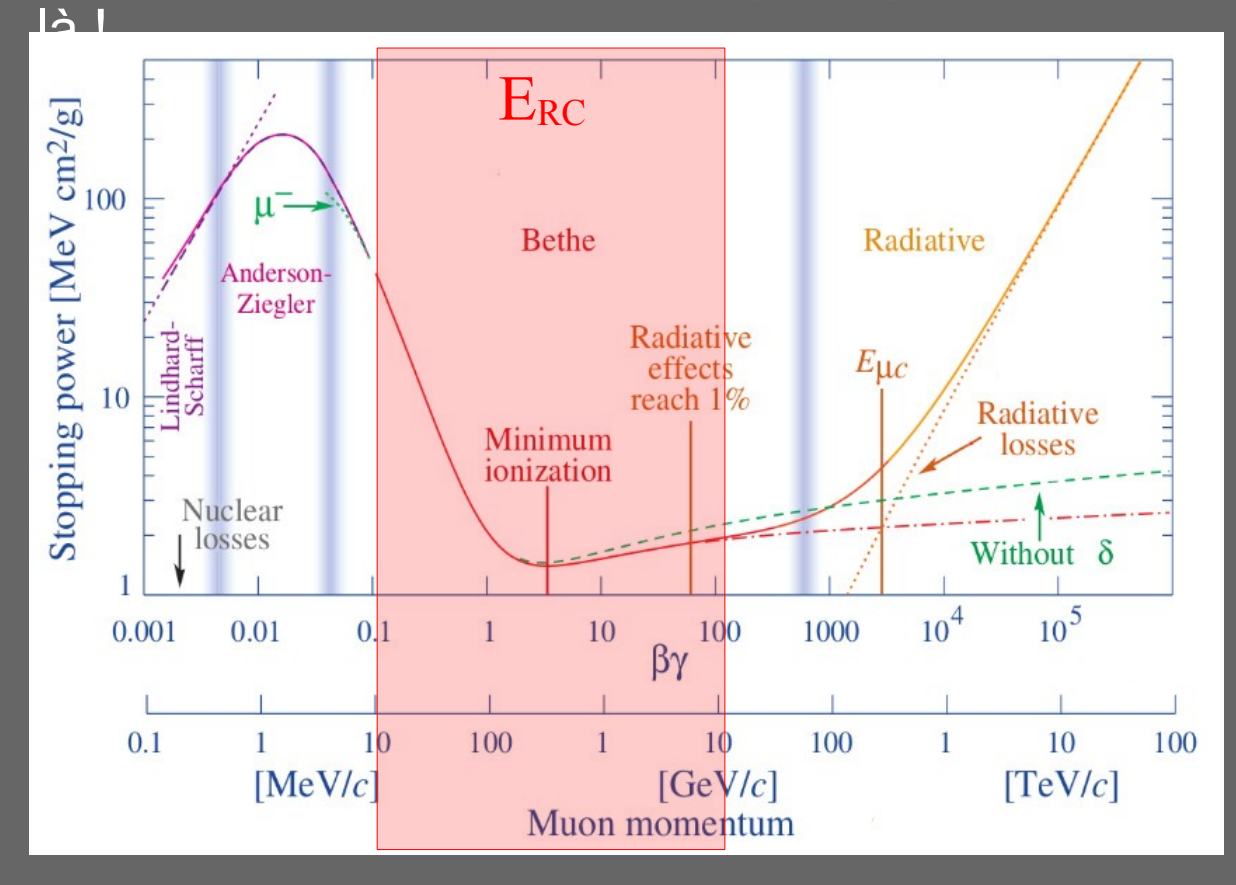


→ Quelque soit la méthode, il faut plusieurs détecteurs sur des km² pour reconstruire
 Ia gerbe

La détection des RC chez les amateurs

Les détecteurs au Silicium sont également utilisés pour détecter les particules chargées. Ça tombe bien : nos capteurs CCD sont à base de silicium !

Mais attention le muon ne dépose pas toute son énergie dans le capteur, loin de



Pour un capteur de 15 μm d'épaisseur :

 ΔE = 25 keV pour 10 MeV

 $\Delta E = 1.3 \text{ keV pour } 10 \text{ GeV}$

Nos capteurs sont évidemment aussi sensibles à la lumière et aux gammas → Image des RC à faire dans le noir total

Matériel: alta U8300 sur un simple trépied photo avec un cache noir opaque

supplémentaire

Caractéristiques alta U8300 :

Gain: 0.54 e-/ADU

Energie de création de pair : 1.12 eV

1ere étape : acquisition

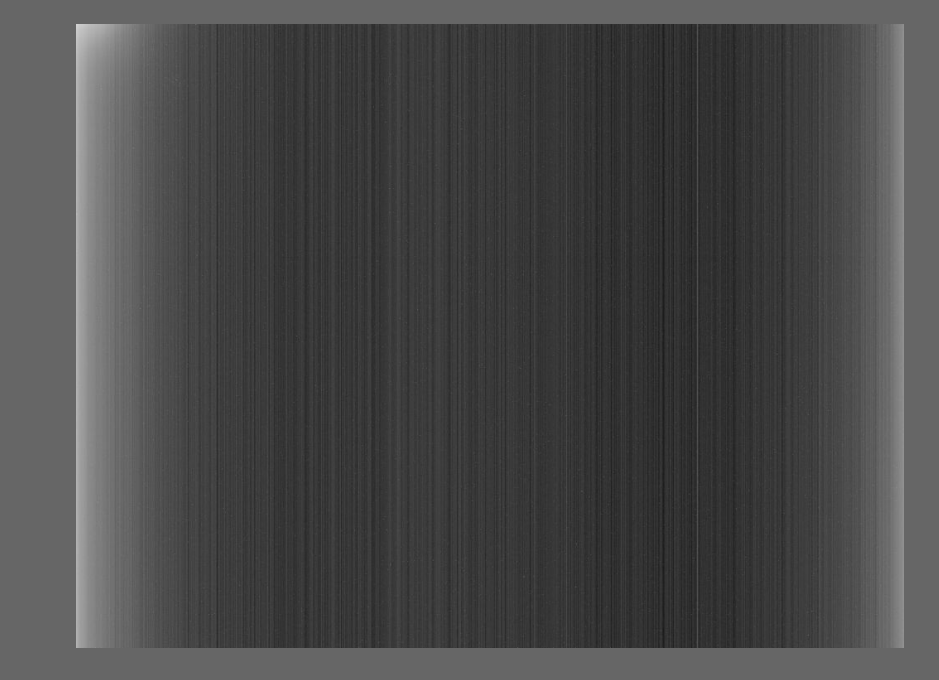
- dark obturateur fermé
- refroidissement de la caméra à -30°C
- poses individuelles de 60 s
- orientation de la caméra sur l'axe N/S
- acquisition à différents angles de hauteur
- 24h d'acquisition par angle



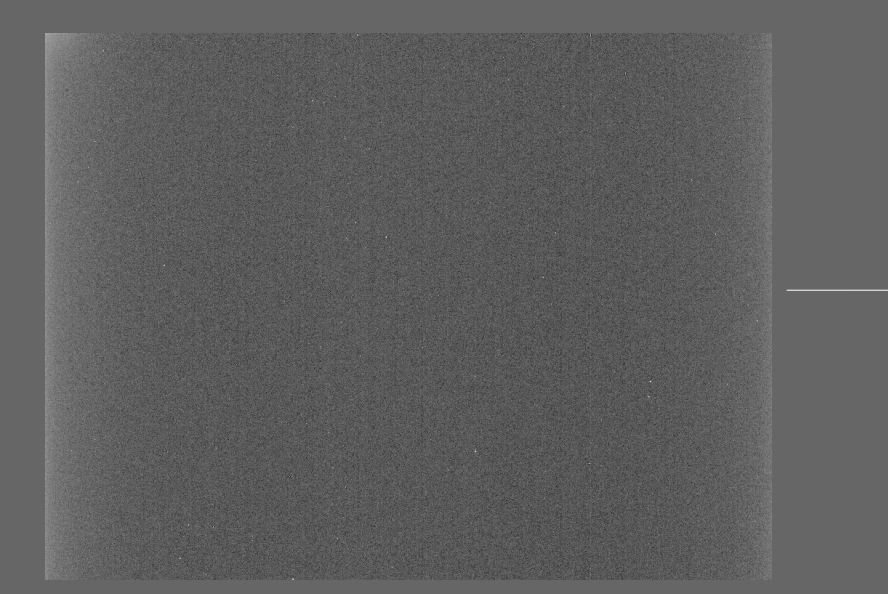
Décultate : 7701 imperse du pois

· 2eme étape : le prétraitement

Compositage médian des 7791 images sous pixinsight pour obtenir un dark maître



Soustraction du dark maître à l'ensemble des 7791 images





· 3e étape : l'extraction des données

Ecriture d'un script python pour :

- détecter les RC dans toutes images individuelles
- extraire les informations et caractéristiques des RC





Informations accessibles et extraites :

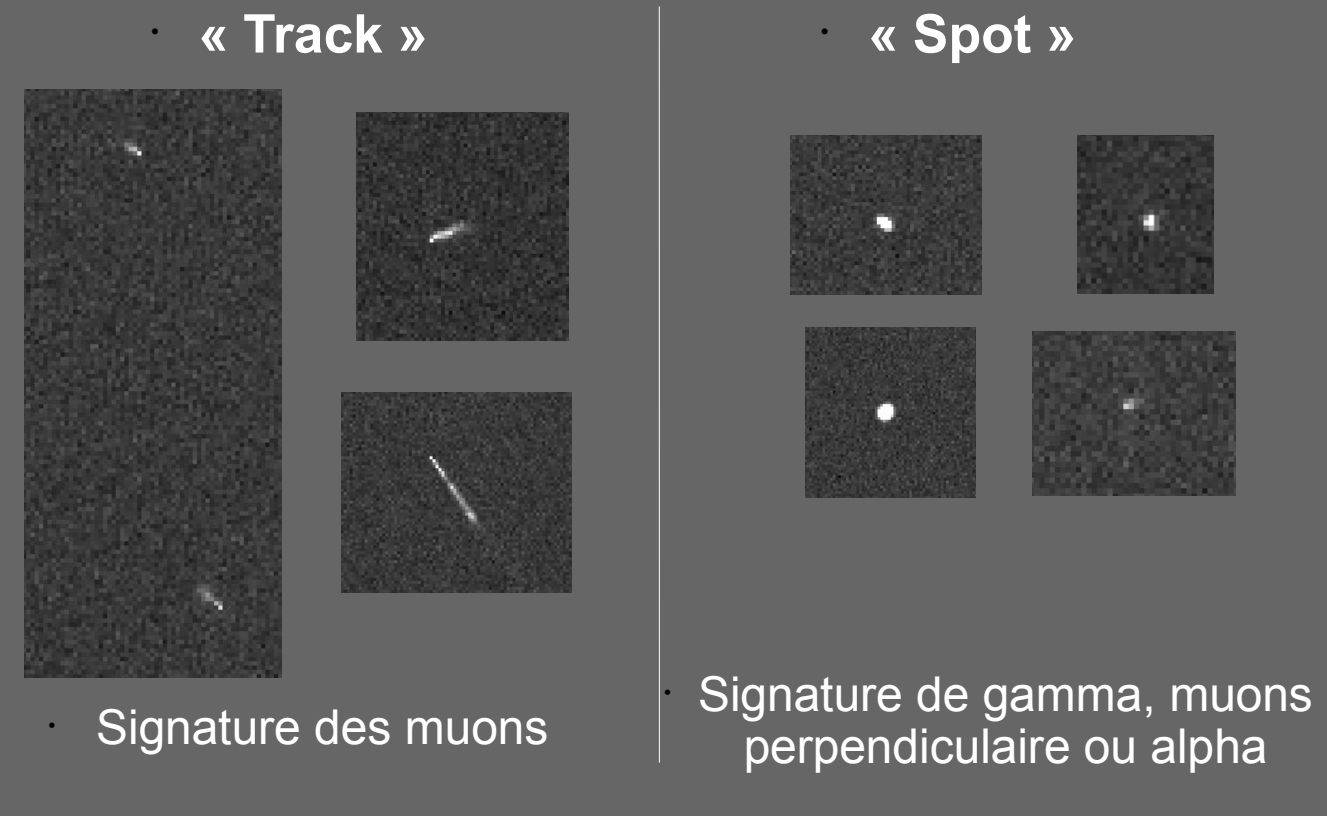
- Nombre de RC par image
 horodatée et par angle du capteur
- Position du RC sur le capteur (sans intérêt)
- Sigma_min et Sigma_max de l'ellipse de détection
- Allonge se de détection
- Photon ie RC

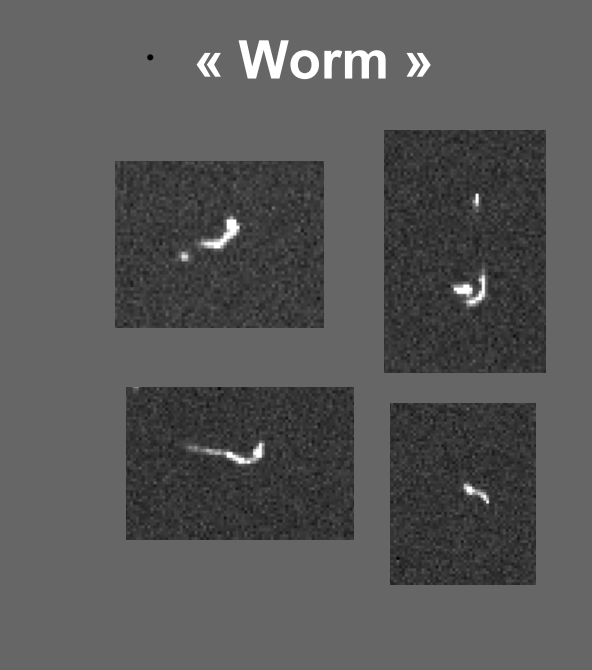


L'observation des RC : les résultats

- · 4e étape : analyse des données
- Ecriture d'un programme d'analyse sous root (CERN)
- ROOT

 Data Analysis Framework
- Nombre total d'évènements détectés sur 8 jours : **31632**
- · Morphologie des évènements détectés



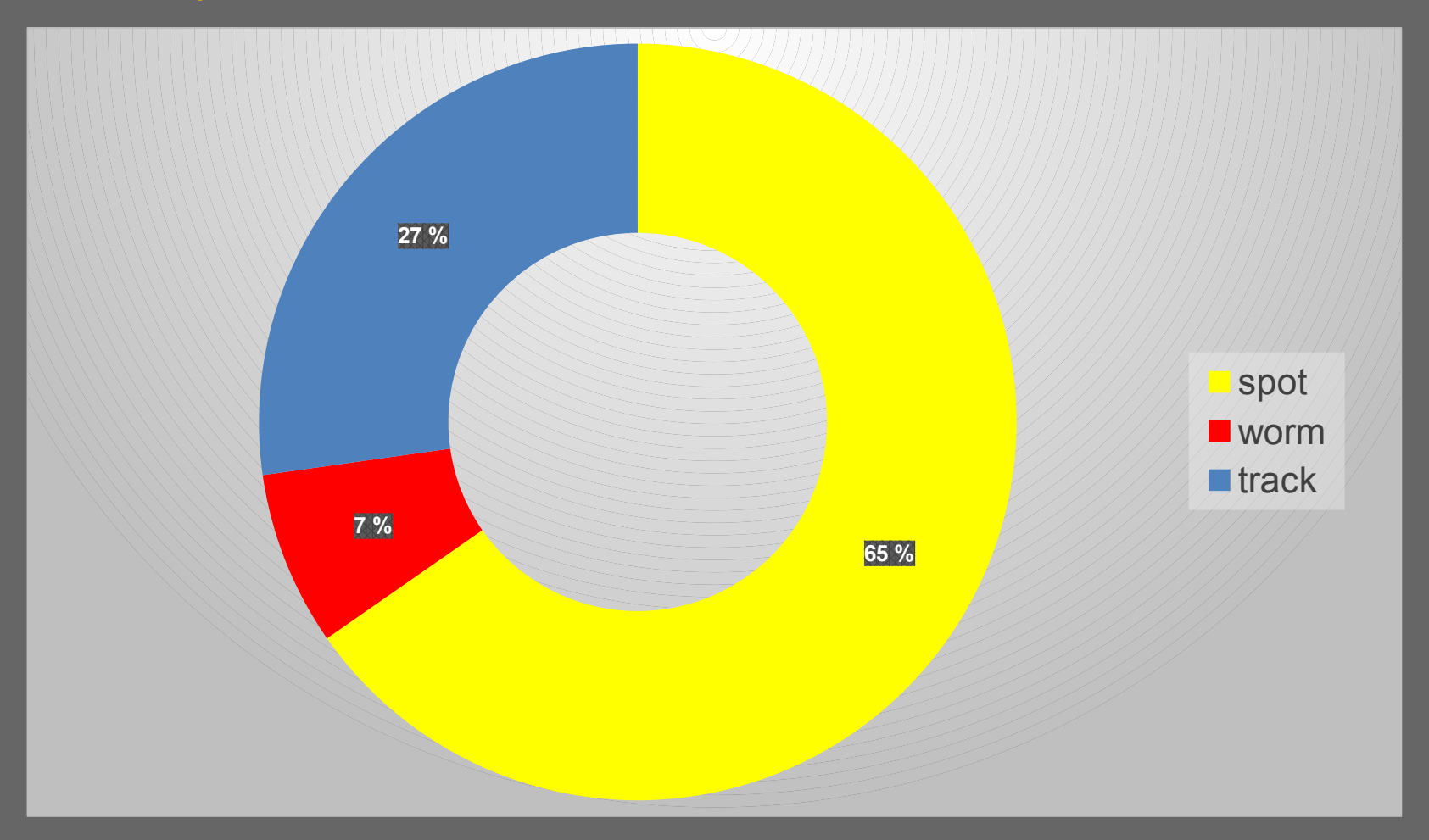


Signature d'électrons issus de la radioactivité locale

Ségrégation des évènements basées à la fois sur leur élongation (Sig_max/Sig_min) et sur la longueur de leur trace

L'observation des RC : les résultats

Distribution des particules



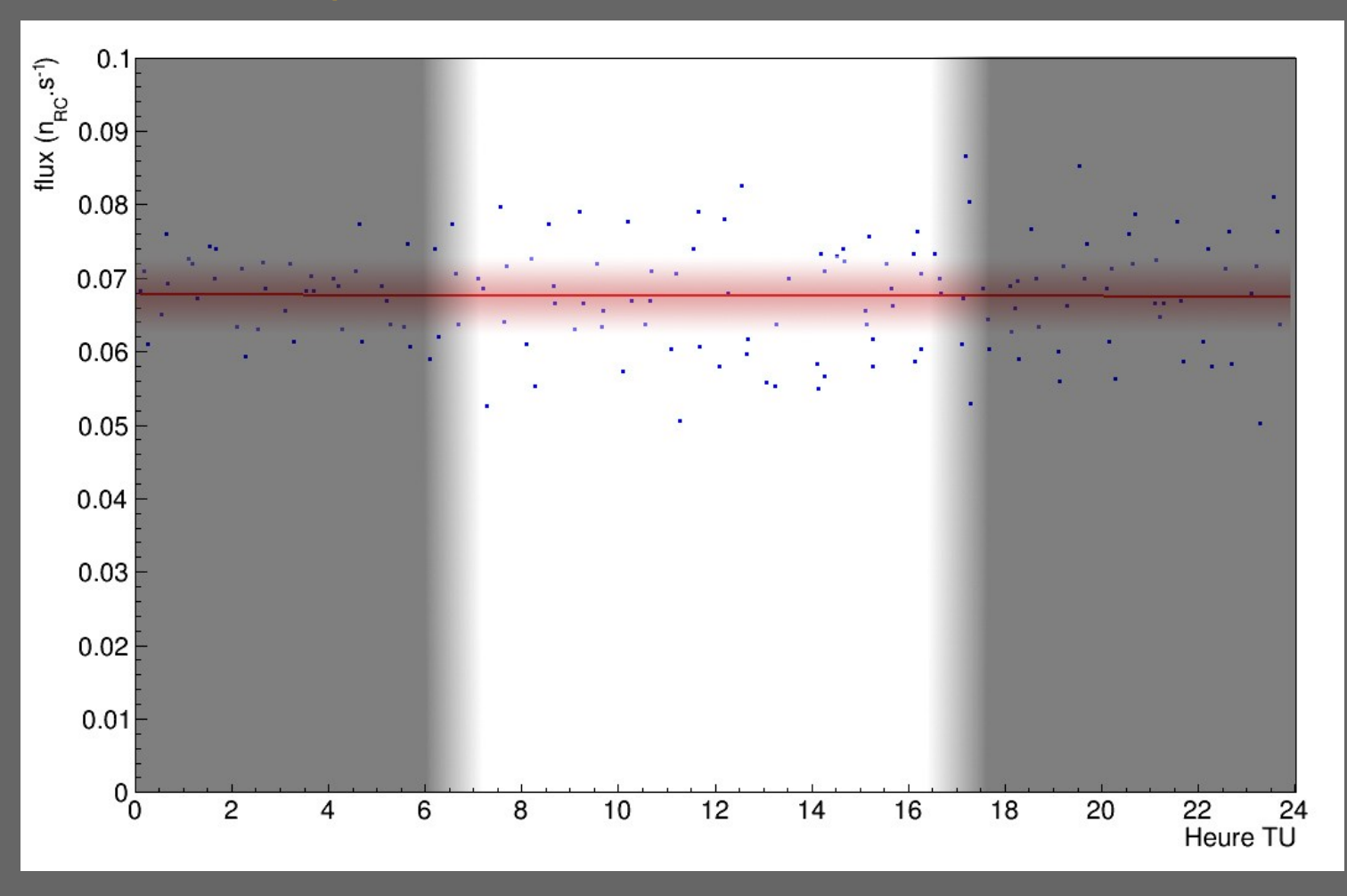
27% des détections seraient des muons à coup sûr

Grande majorité de détection « spot »

→ essai de discrimination des différents types d'évènements

L'observation des RC : les résultats

Distribution temporelle



Flux RC nuit : 0.068 ± 0.013 (2σ) evt/s

Flux RC jour : 0.067 ± 0.016 (2 σ) evt/s

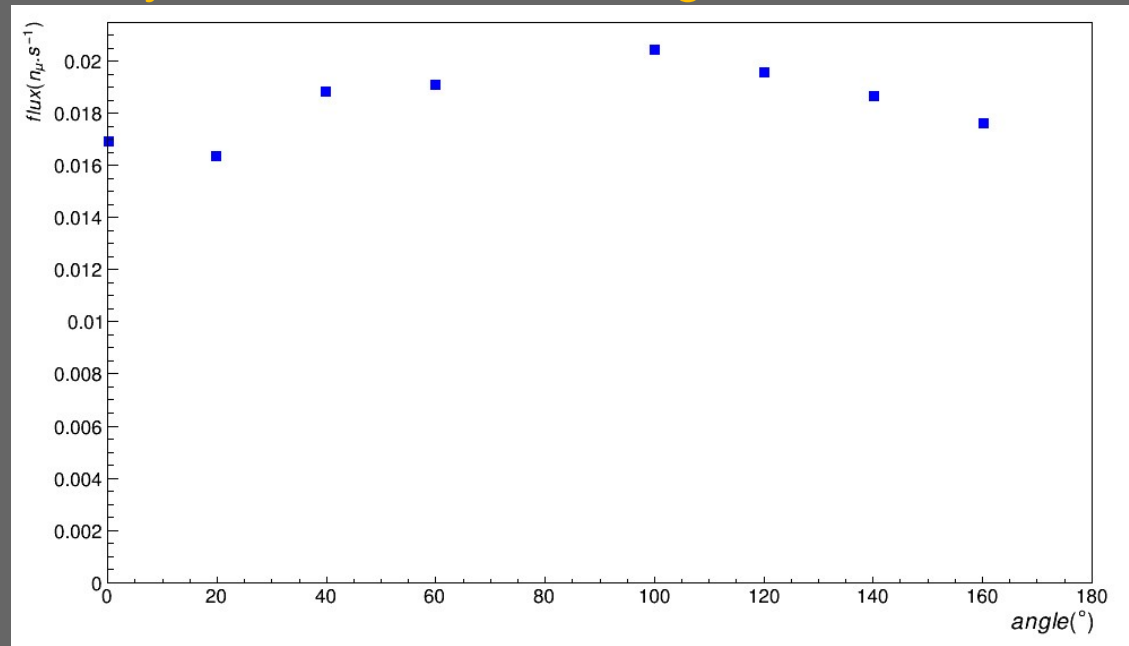
Résultat identique quelque soit le type d'évènements et notamment pour les muons

Pas d'effet de la présence ou non du soleil : Détection isotrope sur le ciel

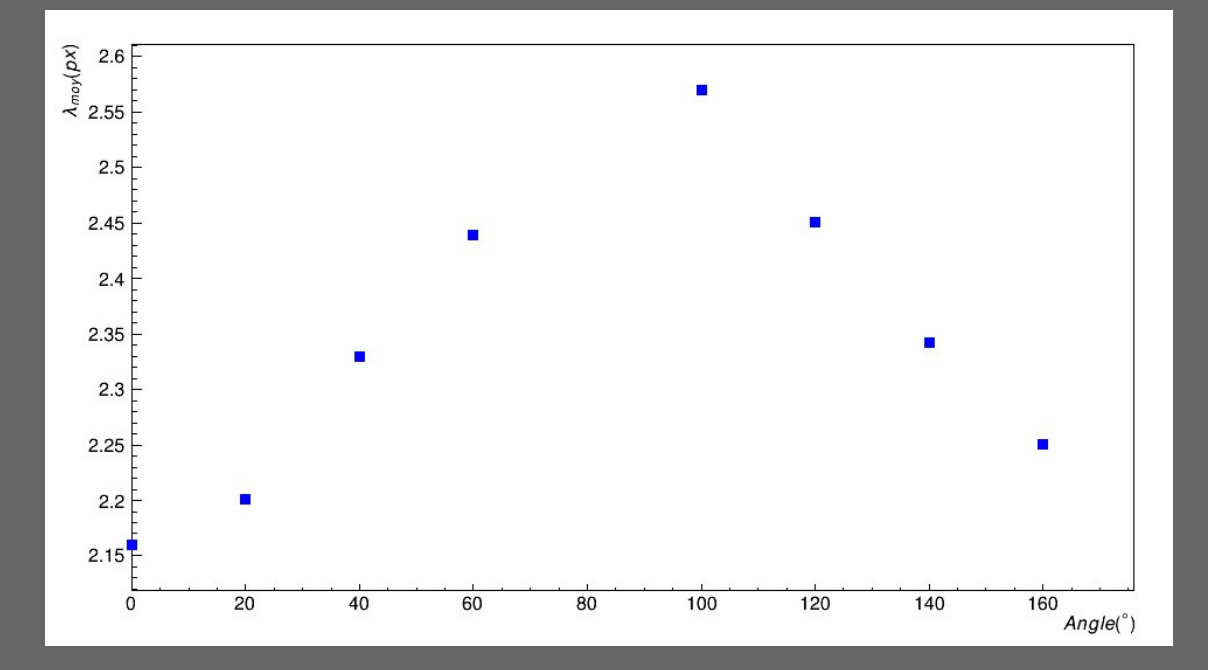
→ Détection de gerbe de RC pour des RC > 1 GeV

L'observation des RC : les « track »

Analyse en fonction de l'angle de la caméra



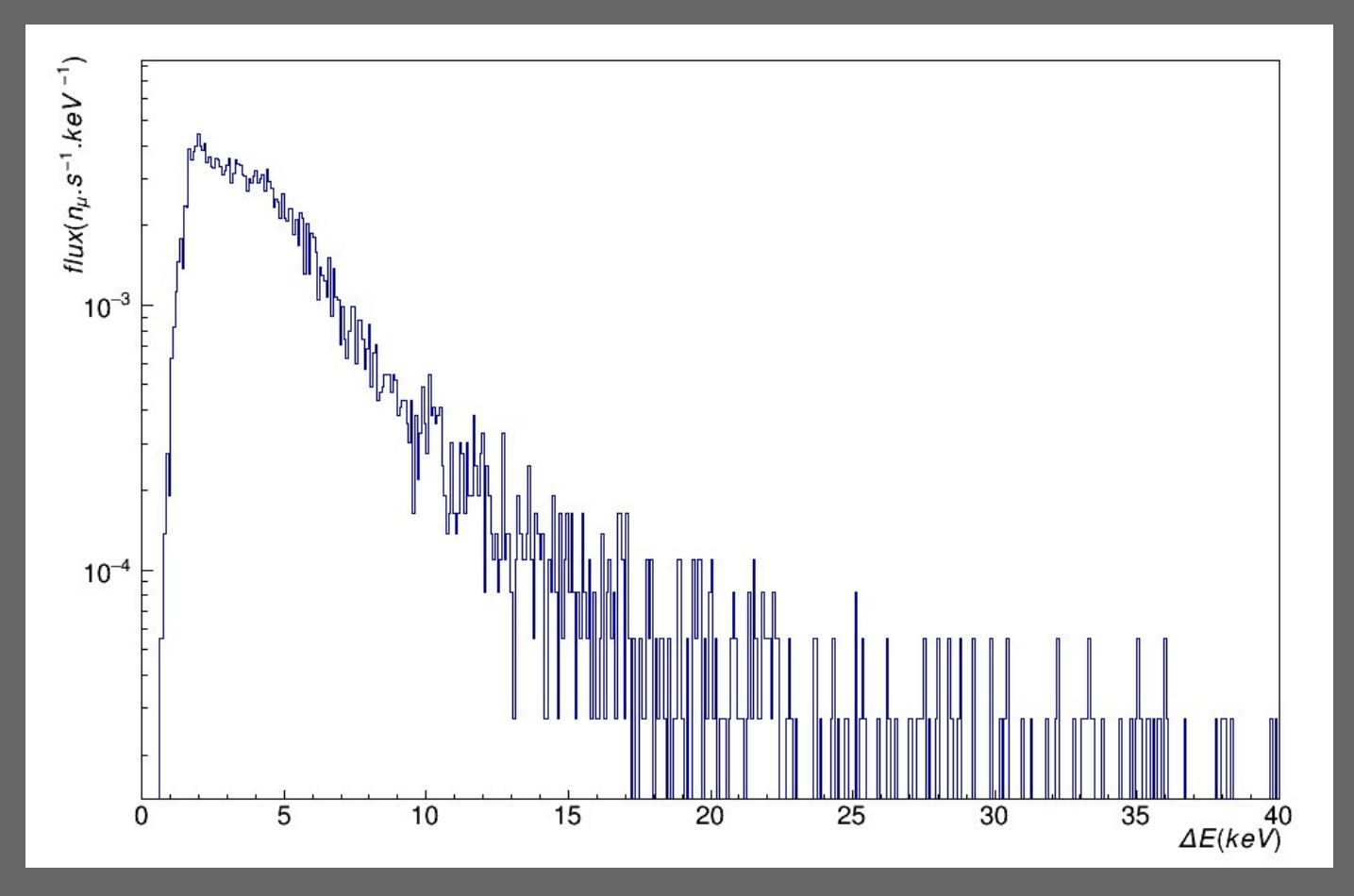
- 1. Flux presque constant
 - diminution de la surface apparente
 - augmentation de la détectivité avec l'augmentation de l'épaisseur apparente de Silicium
 - les « spot » se transforment en « track »



- 2. Ellongaton moyenne croissante avec l'augmentation de l'angle de la caméra → maximale avec la caméra à 90°
- → Trajectoire des particules « track » venant du ciel

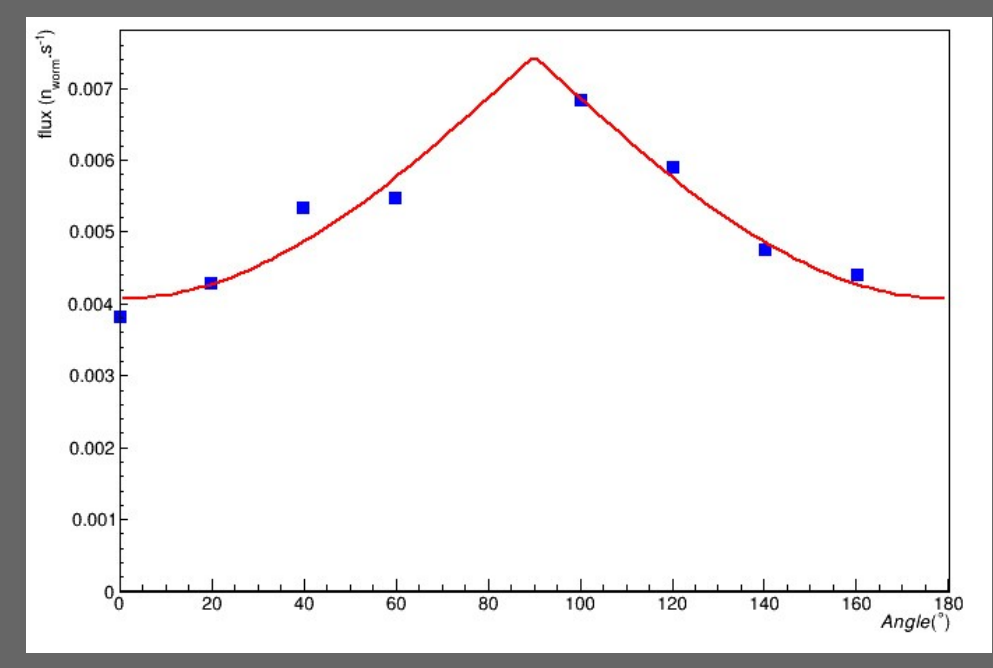
L'observation des RC : les « track »

Extraction de l'énergie déposée



- 1. Gamme d'énergie déposée conforme à l'attendue pour les muons cosmiques (entre 1.3 keV et 30 keV)
- 2. Maximum de flux pour un faible dépôt d'énergie → Maximum de flux de muons entre 100 MeV et 10 GeV

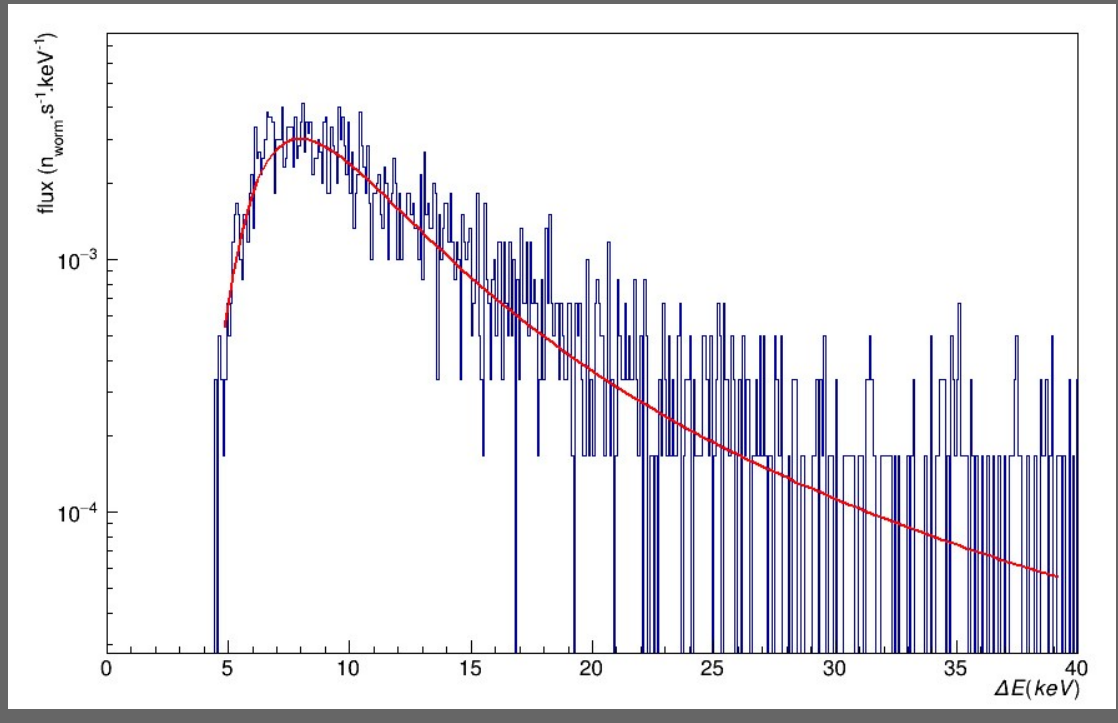
L'observation des RC : les « worm »



Flux des « worm » suit une loi en 1/cosinus avec un flux maximum avec une caméra à 90° → Origine stellaire peu probable

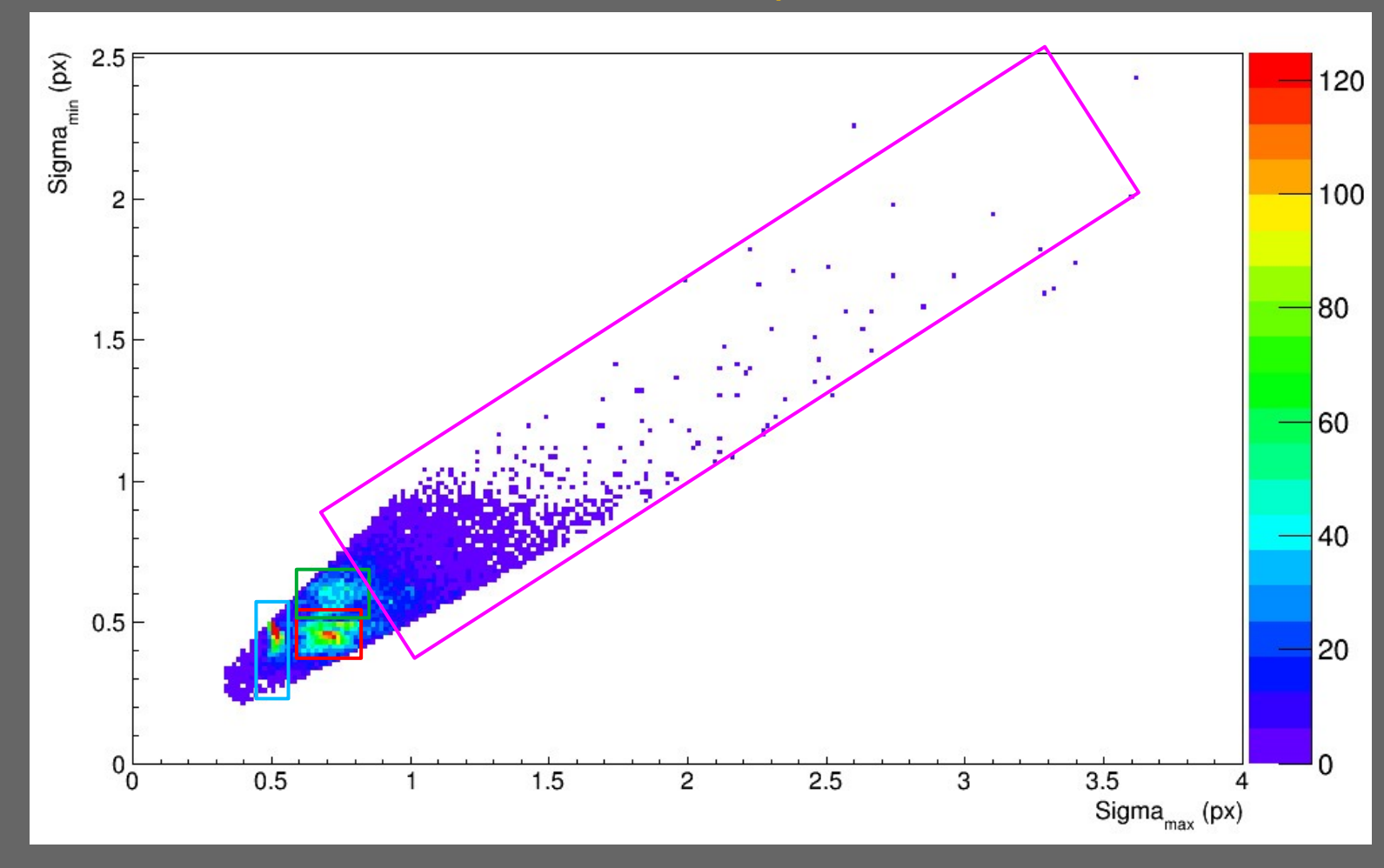
Spectre très différent des muons :

- Seuil en énergie
- Allure totalement différente



L'observation des RC : les « spot »

Discrimination des évènements « spot »



4^e groupe:

- signal plus ou moins circulaire
- signal étalé
- Alpha 7

1^{er} groupe

- signal quasi circulaire
- signal sur très peu de pixel

2^e groupe:

- signal moins circulaire
- signal plus étalé

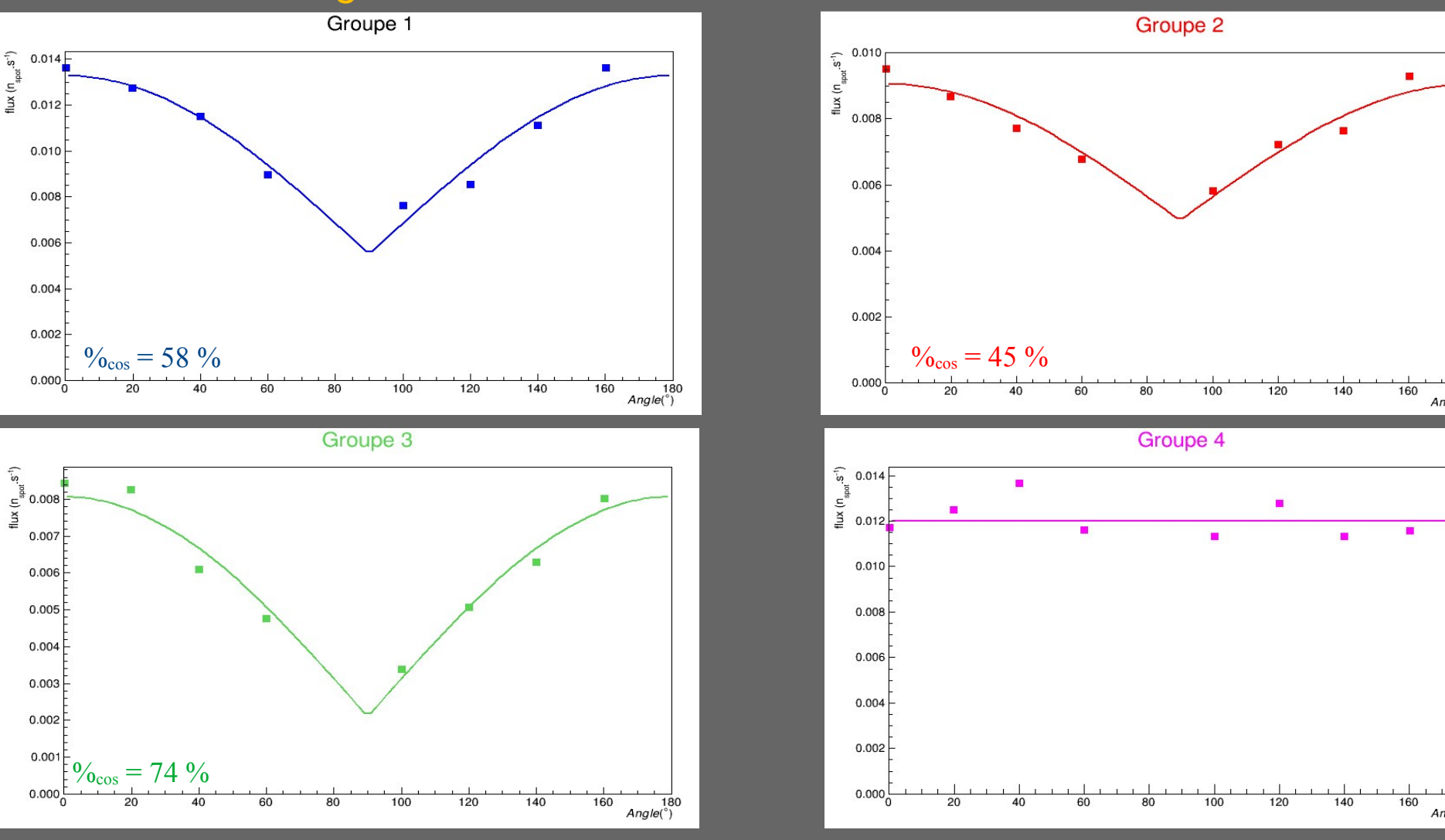
Muons?

3° groupe

- signal quasi circulaire
- signal plus étalé

L'observation des RC : les « spot »

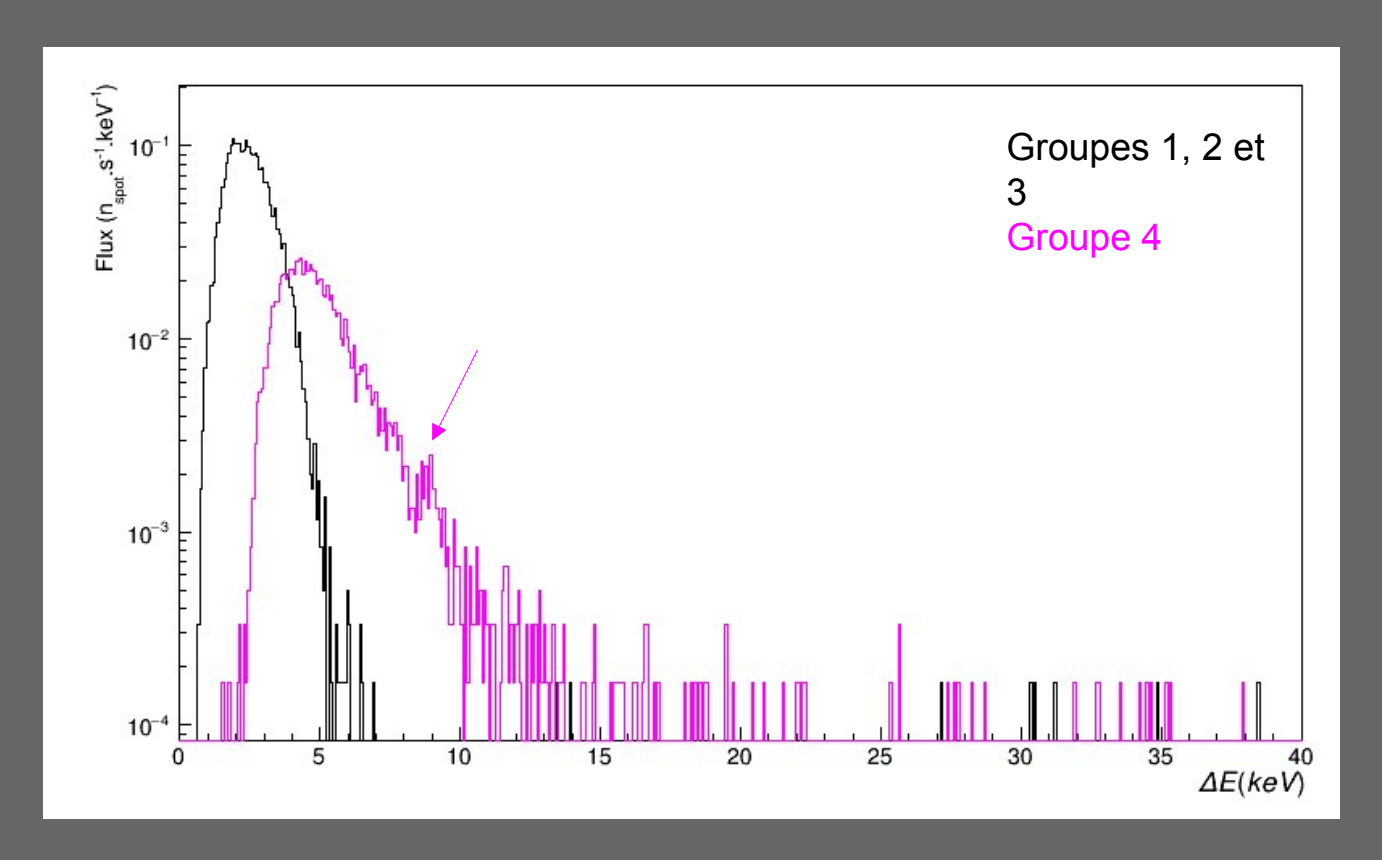
Distribution en angle



La distribution angulaire des groupes 1, 2 et 3 sont marqués de façon plus ou moins forte par une loi en cosinus → flux de particule venant du ciel La distribution angulaire du groupe 4 est uniforme : distribution isotrope → Confirmation d'un bruit de fond ambiant

L'observation des RC : les « spot »

Extraction de l'énergie déposée



Faible quantité d'énergie déposée par les spot des groupes 1, 2 et 3.

→ Spectre sans rapport avec celui des muons mais cela ne veut par forcément dire que cela n'en est pas !

Spectre du groupe 4 à plus haute énergie déposée et présence potentielle d'un pic ?

Conclusion

- Détection avec certitude de particules non visibles avec une caméra CCD
- Mise en évidence de caractéristiques physiques des RC sans accélérateur de particule ni détecteur complexe
- Difficulté d'identification des particules avec certitude
- Encore de nombreuses zones d'ombre qui restent à explorer et/ou à confirmer

La suite

- 5e étape : Simulation
- Simuler le détecteur et les sources (RC, radioactivité naturelle) sous Geant4 pour les confronter aux résultats
- Continuer les observations étaler sur l'année : une heure par semaine ou par jour ?
- Augmenter la statistique de mesure par plus d'images
- Observer à différentes altitudes
- Beaucoup plus complexe : utiliser plusieurs caméras en même temps pour faire

Références

- « Particle Identification In Camera Image Sensors Using Computer Vision », Miles Winter et al., Astroparticle Physics, Juin 2018
- « Natural radiation events in CCD imagers at ground level », T Saad Saoud et al., HAL-01427855, Janvier 2017
- « Radiation events in astronomical CCD images », A.R. Smith et al., IS&T/SPIE's Electronic Imaging 2002, Janvier 2002
- « Observing Ultra-High Energy Cosmic Rays with Smartphones », D. Whiteson et al., arXiv:1410.2895, Octobre 2015
- « The particle detector in your pocket : The Distributed Electronic Cosmic-ray Observatory », M. Meehan et al., 35th International Cosmic Ray Conference ICRC2017, Juillet 2017
- « CREDO project », R. Kaminski et al., arXiv:2009.12314, Septembre 2020
- « Determination of Zenith Angle Dependence of Incoherent Cosmic Ray Muon Flux Using Smartphones of the CREDO Project », M. Karbowiak, Appl. Sci. 2021,11,1185